

0	1	2	3	4	5	6	7	8	9																																																																																																		
<div><div></div><div><div>Fosber</div></div><div></div></div>																																																																																																											
<table><tr><td>Empresa/cliente</td><td colspan="9">CORRUGADORA GUATEMALA</td></tr><tr><td>Descripción de proyecto</td><td colspan="9">Precalentador</td></tr><tr><td>Tipo</td><td colspan="9">SINGLE PREHEATER B.0</td></tr><tr><td>Comisión</td><td colspan="9">COM17310</td></tr><tr><td colspan="10"><table><tr><td>Nombre de proyecto</td><td colspan="9">4607CSPH(1)</td></tr><tr><td>Número de diseño</td><td colspan="9">+Q0-003</td></tr></table></td></tr><tr><td colspan="10"><table><tr><td>Creado</td><td colspan="2">09/11/2011</td><td colspan="5"></td><td></td></tr><tr><td>Modificado</td><td colspan="2">01/07/2017</td><td colspan="5"></td><td>Número de páginas 43</td></tr></table></td></tr></table>										Empresa/cliente	CORRUGADORA GUATEMALA									Descripción de proyecto	Precalentador									Tipo	SINGLE PREHEATER B.0									Comisión	COM17310									<table><tr><td>Nombre de proyecto</td><td colspan="9">4607CSPH(1)</td></tr><tr><td>Número de diseño</td><td colspan="9">+Q0-003</td></tr></table>										Nombre de proyecto	4607CSPH(1)									Número de diseño	+Q0-003									<table><tr><td>Creado</td><td colspan="2">09/11/2011</td><td colspan="5"></td><td></td></tr><tr><td>Modificado</td><td colspan="2">01/07/2017</td><td colspan="5"></td><td>Número de páginas 43</td></tr></table>										Creado	09/11/2011								Modificado	01/07/2017							Número de páginas 43
Empresa/cliente	CORRUGADORA GUATEMALA																																																																																																										
Descripción de proyecto	Precalentador																																																																																																										
Tipo	SINGLE PREHEATER B.0																																																																																																										
Comisión	COM17310																																																																																																										
<table><tr><td>Nombre de proyecto</td><td colspan="9">4607CSPH(1)</td></tr><tr><td>Número de diseño</td><td colspan="9">+Q0-003</td></tr></table>										Nombre de proyecto	4607CSPH(1)									Número de diseño	+Q0-003																																																																																						
Nombre de proyecto	4607CSPH(1)																																																																																																										
Número de diseño	+Q0-003																																																																																																										
<table><tr><td>Creado</td><td colspan="2">09/11/2011</td><td colspan="5"></td><td></td></tr><tr><td>Modificado</td><td colspan="2">01/07/2017</td><td colspan="5"></td><td>Número de páginas 43</td></tr></table>										Creado	09/11/2011								Modificado	01/07/2017							Número de páginas 43																																																																																
Creado	09/11/2011																																																																																																										
Modificado	01/07/2017							Número de páginas 43																																																																																																			
<div></div>																																																																																																											
<div></div>																																																																																																											
<div></div>																																																																																																											
<div></div>																																																																																																											

Fosber S.p.A. Via Provinciale per Camaione, 27/28 Monsagrati (Lucca) - Italy T. +39.0583.3891 - F. +39.0583.389205 / 385567 E-mail: info@fosber.it	Comisión CORRUGADORA GUATEMALA	Fecha	01/07/2017		SINGLE PREHEATER B.0 Portada Copertina	Job nr.	= SPH(1)	
		Autor	Lorenzo Centi			4607	+M0	
		Comprobación				Comisión	Hoja 1	
			+Q0-003			COM17310	Hoja 43	



Via Provinciale per Camaiore, 27/28 Monsagrati (Lucca) - Italy T. +39.0583.3891 - F. +39.0583.389205 / 385567

=SPH

Sigla máquina Sigla macchina

SINGLE PREHEATER B.0

Tipo máquina Tipo macchina

=SPH(1)+Q0-003

N. esquema electrico N. schema elettrico

2016

Año de construcción Anno di costruzione

COM17310

Matrícula Matricola

Referencia norma Riferimento norma

EN60204-1, IEC 60204-1

Tensión nominal (Un)
Tensione nominale (Un)

460

VAC

Número de las fases
Numero delle fasi

3

Frecuencia (f)
Frequenza (f)

60

Hz

Corriente a máxima carga (in)
Corrente a pieno carico (in)

15

A

Poder de interrupción (Icc)
Potere di interruzione (Icc)

40

kA

Peso tablero eléctrico
Peso quadro elettrico

25

kg

0	1	2	3	4	5	6	7	8	9
<div>Indice principal Indice principale</div>									
<div>Índice Indice =SPH+M0</div>									
<div>Cuadro electrico general Quadro elettrico generale =SPH+Q0</div>									
<div>Palno de conexion de cables Schema allacciamento dei cavi =SPH+W0</div>									
<div>Lista de materiales Lista materiale =SPH+P0</div>									
<div>Fosber S.p.A. Via Provinciale per Camaione, 27/28 Monsagrati (Lucca) - Italy T. +39.0583.3891 - F. +39.0583.389205 / 385567 E-mail: info@fosber.it</div>		<div>Comisión CORRUGADORA GUATEMALA</div>		<div>Fecha01/07/2017</div>	<div>SINGLE PREHEATER B.0</div>			<div>Job nr. 4607</div>	<div>= SPH(1) +M0</div>
				<div>AutorLorenzo Centi</div>	<div>Indice principal</div>			<div>Comisión</div>	<div>Hoja3</div>
				<div>Comprobación</div>	<div>Indice principale</div>			<div>COM17310</div>	<div>Hoja43</div>
				<div>+Q0-003</div>					

Configuración máquina

Configurazione macchina

Identificación equipo

Identificazione equipaggiamento

Potencia nominal instalada (Pn) Potenza nominale installata (Pn)	Consulte la tabla pág. 6 Vedere tabella pag. 6
Grado de protección armarios eléctricos y consolas Grado di protezione armadi elettrici e console	IP 54

Corriente nominal de la carga mayor (Ia) Corrente nominale del carico maggiore (Ia)	Consulte la tabla pág. 6 Vedere tabella pag. 6

Color de los conductores
Colore dei conduttori

EN 60204-1 CEI 44-5 10.2.2

Código de identificación de los materiales Codice di identificazione dei materiali				IEC 750 CEI 3-34
Bloque Blocco	Finalidad Scopo	Señales prefijo Segni di prefisso	Ejemplo Esempio	
1	Código principal de identificación Codice principale di identificazione	=	=EX4	
2	Código de ubicación del material Codice di ubicazione del materiale	+	+Q0	
3	Código de ubicación del material Codice di ubicazione del materiale	-	-X5	
4	Código de identificación de los bornes Codice di identificazione dei morsetti	:	:3	

Marcas de uso común en la máquina Segni di uso comune sulla macchina		IEC 617-2 CEI 3-14
Linea a tratti breve: utilizzata per identificare il montaggio su adattatore	Línea de rayas cortas: utilizada para identificar el montaje en el adaptador	
Linea, punto, línea: utilizzata per associazioni funzionali, raggruppamenti	Línea, punto, línea: utilizada en asociaciones funcionales, agrupamientos	
Linea formta da un tratto lungo e due brevi intervallati: Utilizzata per raggruppamenti esterni al quadro		

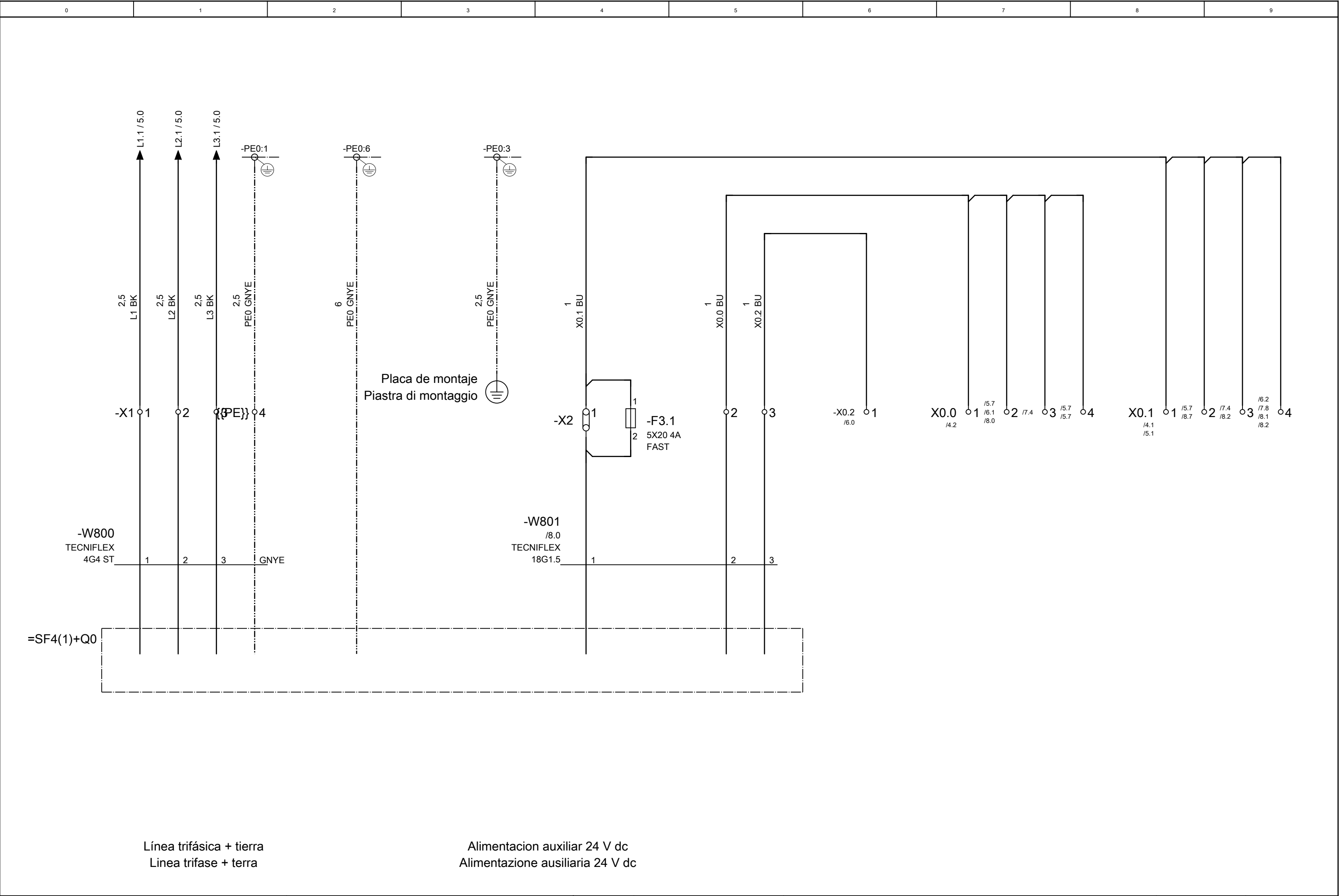
Nomenclatura adoptada para los componentes Nomenclatura adottata per i componenti
Nomenclatura adoptada de los hilos Nomenclatura dei fili Número de la página.número progresivo del hilo (primer n° hilo interno página: 10) Numero pagina.numero progressivo del filo (primo n° filo interno pagina: 10)
Nomenclatura de los bornes Nomenclatura dei morsetti -x nombre de la bornera.número progresivo del borne (primer n° borne: 1) -x nome della morsettiera.numero progressivo del morsetto (primo n° morsetto: 1)
Nomenclatura de los componentes genericos Nomenclatura dei componenti generici -referencia del dispositivo.número de la página.número progresivo del componente -riferimento del dispositivo.numero della pagina.numero progressivo del componente
Nomenclatura de los cables entre los tableros eléctricos Nomenclatura dei cavi tra quadri elettrici Código máquina, número del cuadro-wnúmero del cable Codice macchina, numero quadro-wnumero del cavo
Nomenclatura de los cables entre los tableros eléctricos Nomenclatura dei cavi tra quadri elettrici Código máquina, número del cuadro de origen, número del cuadro de destinación-wnu Codice macchina, numero del quadro di origine, numero del quadro di destinazione-wnumero del cavo

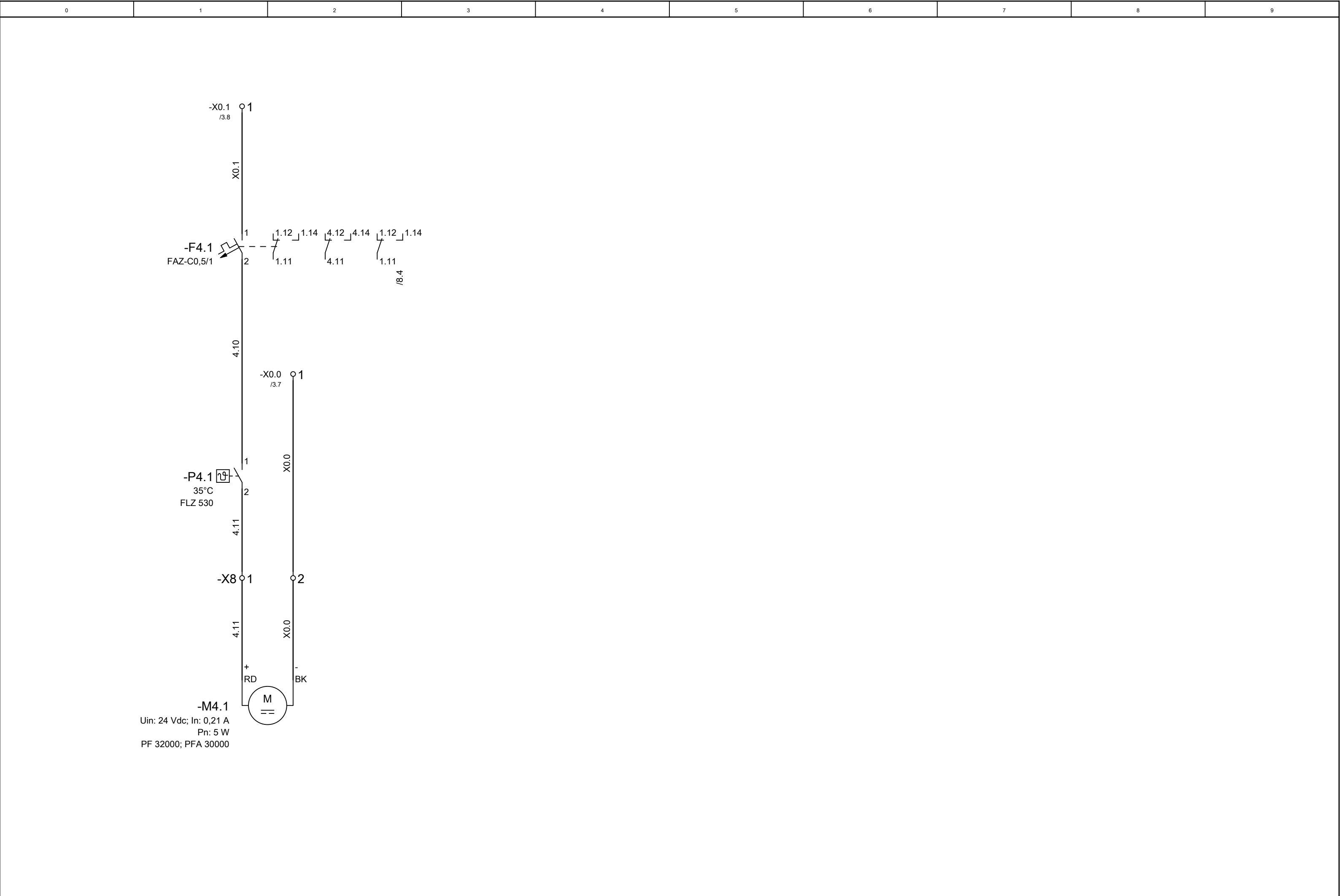
I circuiti colorati arancioni-giallo rimangono in tensione anche dopo l'apertura dell'interruttore generale	
Se non diversamente specificato nello schema elettrico, i collegamenti sono blu sezione 0,75 mm-awg 18	
Le informazioni tecniche identificate dal simbolo a lato,sono destinate ad essere utilizzate unicamente dal personale Fosber.	
Las informaciones técnicas identificadas con el símbolo al lado, están destinadas a ser utilizadas únicamente por el personal fosber	
Tali informazioni non avendo rilevanza ai fini della sicurezza, sono redatteunicamente in italiano, conformemente a quanto previsto al punto 18.1 dellanorma CEI EN 60204-1 (IEC 60204-1)	
Dichas informaciones no siendo importantes al fin de la seguridad, están redactadas únicamente en italiano, según cuanto previsto al punto 18.1 de la norma cei en 60204-1 (iec 60204-1)	
Le pagine con il solo cartiglio in questo schema sono da considerarsi lasciate vuote intenzionalmente	Las páginas con el friso en este esquema tienen que considerarse dejadas vacías intencionalmente

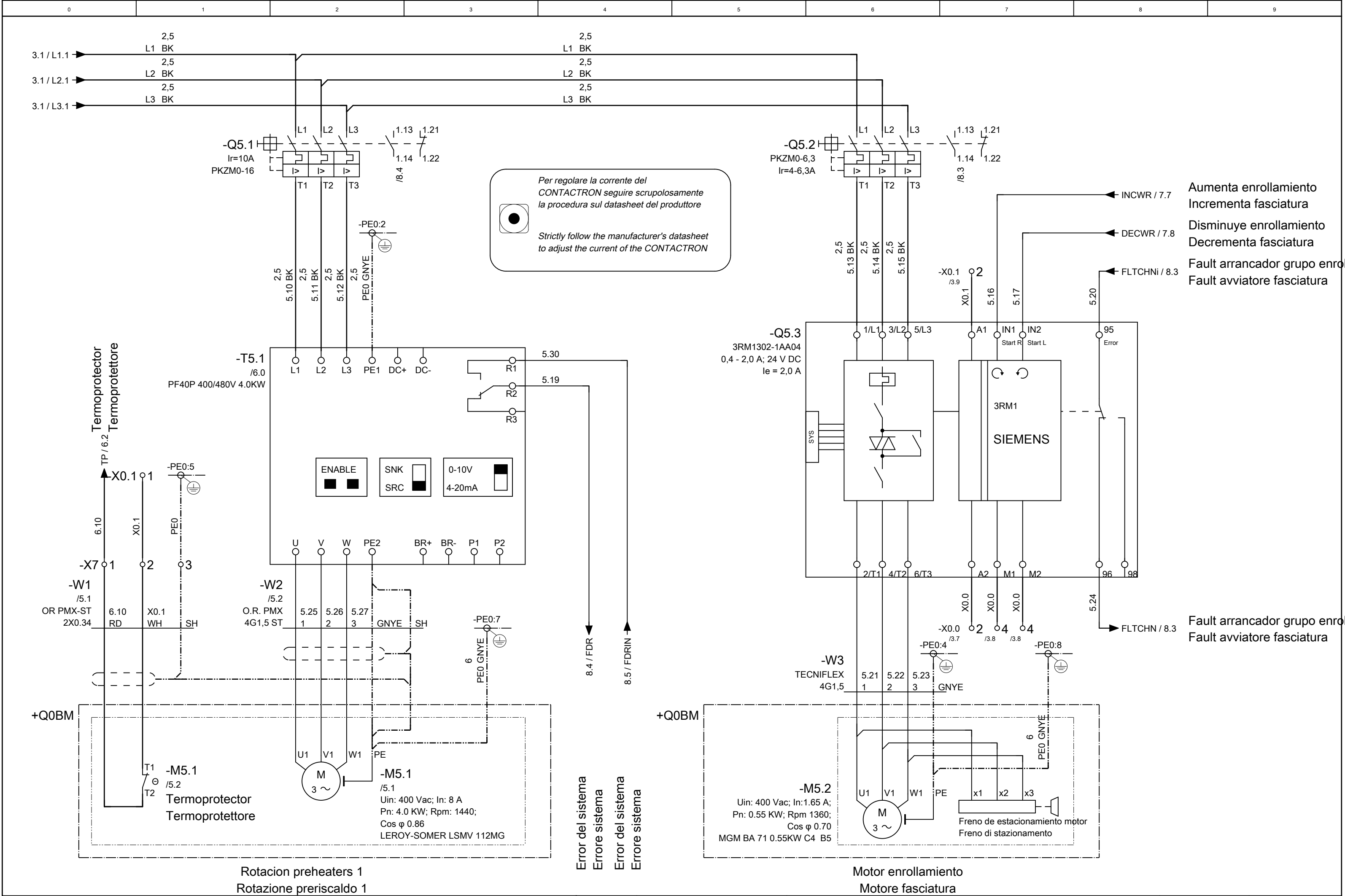
0	1	2	3	4	5	6	7	8	9	
Índice de páginas										FOS_F06_010
Página		Descrizione pagina			Descripción de página			Fecha	Responsable	
=SPH(1)+M0/1		Copertina			Portada			01/07/2017	LCENTI	
=SPH(1)+M0/2		Targa di identificazione			Matricula de identificacion			01/07/2017	LCENTI	
=SPH(1)+M0/3		Indice principale			Indice principal			01/07/2017	LCENTI	
=SPH(1)+M0/4		Configurazione macchina			Configuración máquina			01/07/2017	LCENTI	
=SPH(1)+M0/5		Codice di identificazione del materiale			Código de identificación del material			01/07/2017	LCENTI	
=SPH(1)+M0/6		Sommario delle pagine : =SPH(1)+M0/1 - =SPH(1)+M0/6			Índice de páginas : =SPH(1)+M0/1 - =SPH(1)+M0/6			01/07/2017	LCENTI	

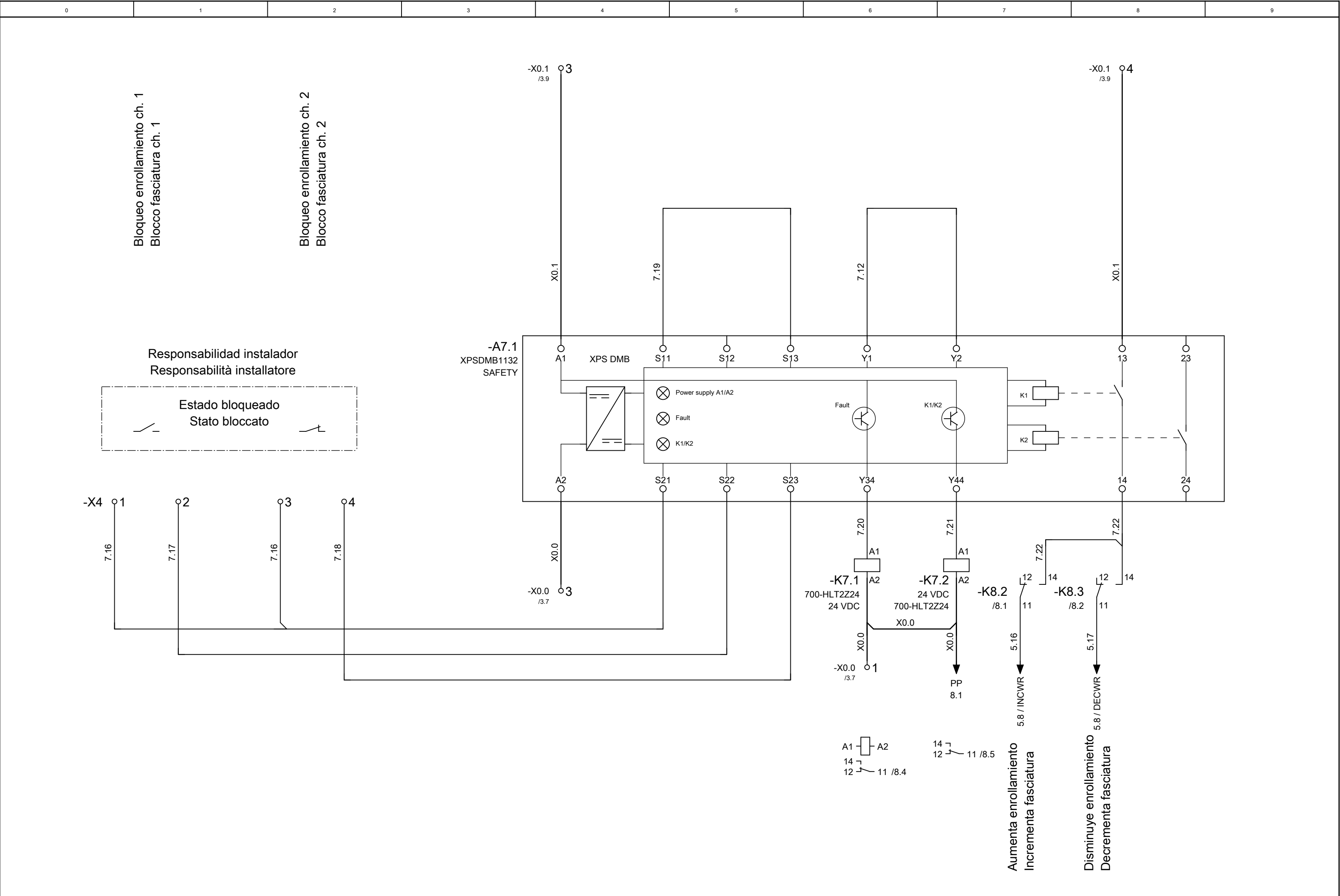
0	1	2	3	4	5	6	7	8	9
<div>Cuadro electrico general Quadro elettrico generale</div>									
Fosber S.p.A. Via Provinciale per Camaione, 27/28 Monsagrati (Lucca) - Italy T. +39.0583.3891 - F. +39.0583.389205 / 385567 E-mail: info@fosber.it		Comisión CORRUGADORA GUATEMALA		Fecha	01/07/2017	SINGLE PREHEATER B.0 Papel cara sección Copertina sezione		Job nr. 4607	= SPH(1) +Q0
				Autor	Lorenzo Centi			Comisión	Hoja 1
				Comprobación				COM17310	Hoja 43
					+Q0-003				

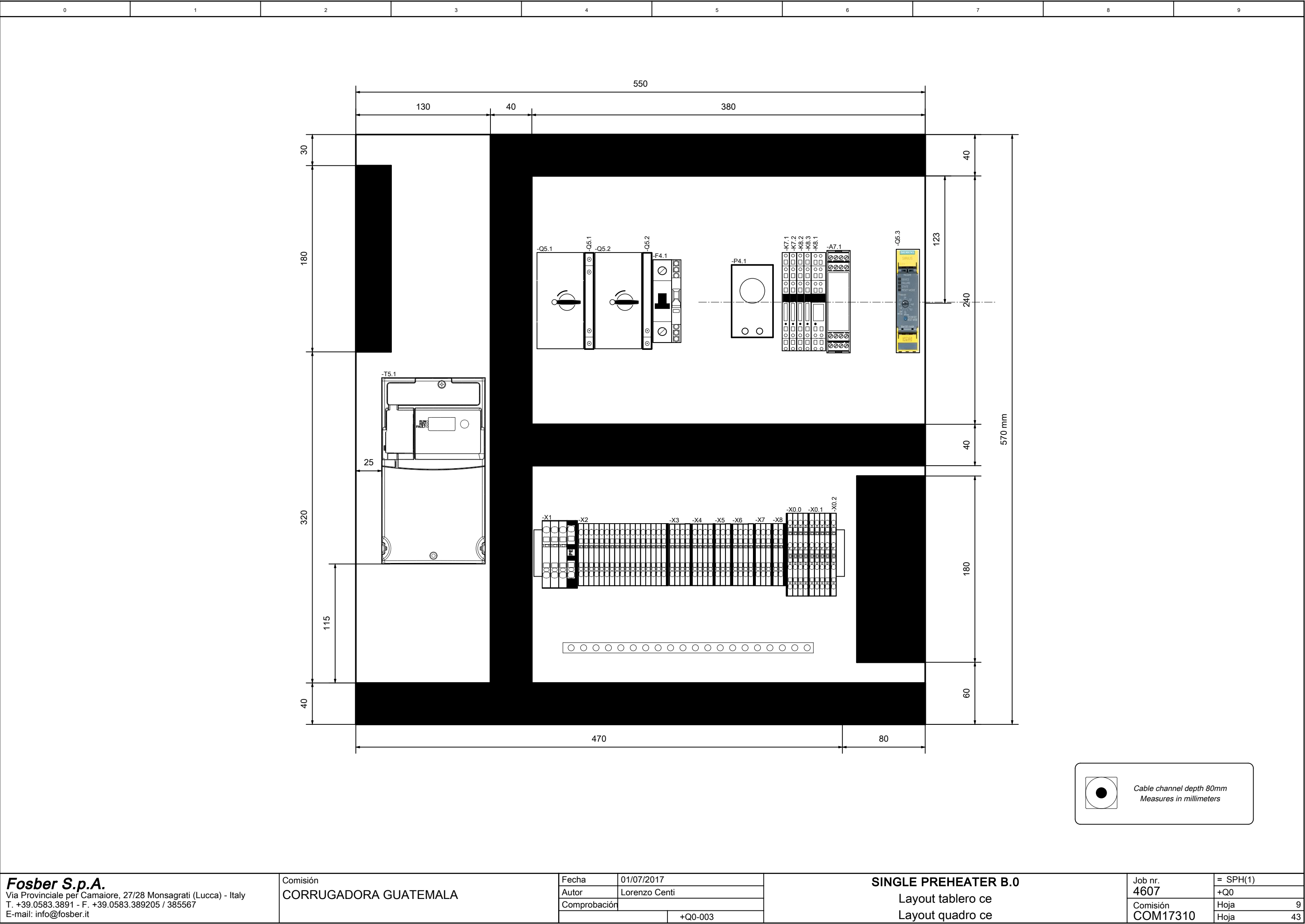
0	1	2	3	4	5	6	7	8	9	
<div>Fosber S.p.A. Via Provinciale per Camaiore, 27/28 Monsagrati (Lucca) - Italy T. +39.0583.3891 - F. +39.0583.389205 / 385567 E-mail: info@fosber.it</div>		<div>Comisión CORRUGADORA GUATEMALA</div>		Fecha	01/07/2017		<div>SINGLE PREHEATER B.0 Página intencionalmente vacía Pagina intenzionalmente vuota</div>		Job nr.	= SPH(1)
				Autor	Lorenzo Centi				4607	+Q0
				Comprobación					Comisión	Hoja 2
						+Q0-003			COM17310	Hoja 43

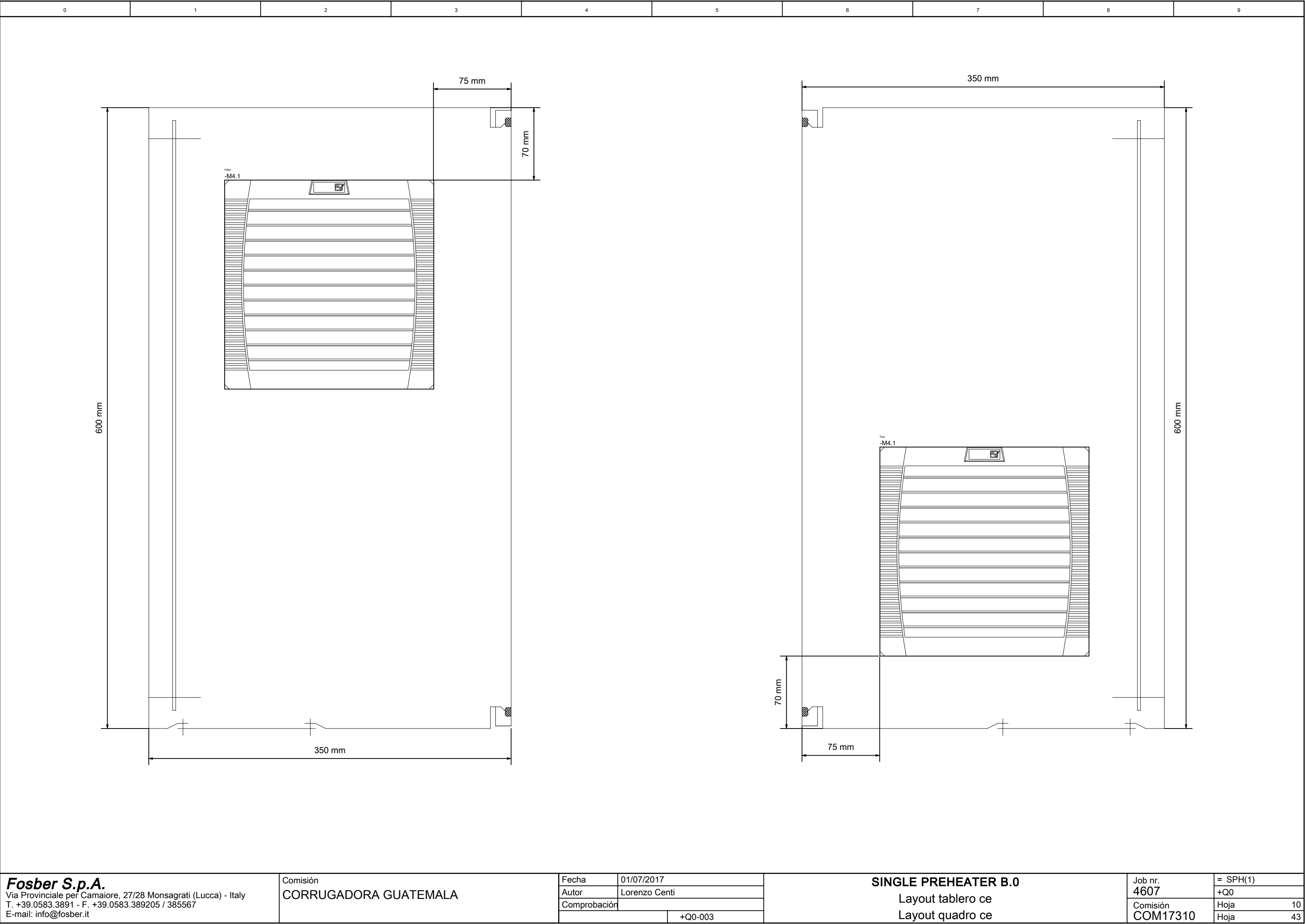


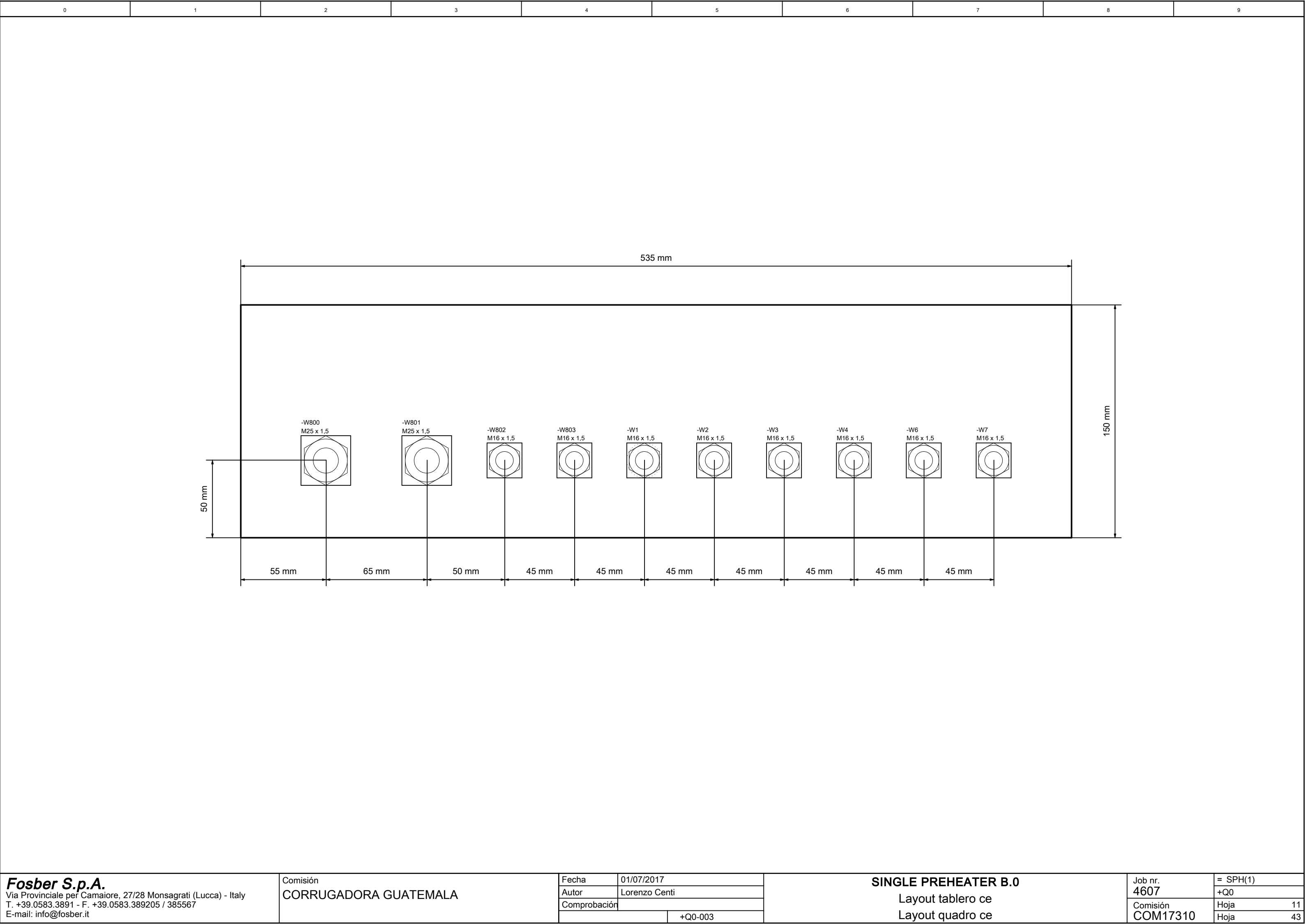












Plano de bornes

FOS_F13_010

[illegible]

0	1	2	3	4	5	6	7	8	9																																																																																																																																																																																																																																																																																																																																																																																																																																																																																																																																																																																																																																																																																																																																																																																																																																																																																																																																																																																																																																																																																																																																																																																																																																																																																																																																																																																																																																																																																																																																																																																																																																																																																																																																																																																																																																																																																																																																																																																																																																																																																																																																																																																																																																																																																																																																																																																																																																																																																																																																																																																																																																																																																																																																																																																																																																																																																																																																																																																																																																																																																																																																																																																																																																																																																																																																																																																																																																																																																																																																																																																																																																																																																																																																																																																																																																																																																																																																																																																																																																																																																																																																																																																														
Plano de bornes										FOS_F13_010																																																																																																																																																																																																																																																																																																																																																																																																																																																																																																																																																																																																																																																																																																																																																																																																																																																																																																																																																																																																																																																																																																																																																																																																																																																																																																																																																																																																																																																																																																																																																																																																																																																																																																																																																																																																																																																																																																																																																																																																																																																																																																																																																																																																																																																																																																																																																																																																																																																																																																																																																																																																																																																																																																																																																																																																																																																																																																																																																																																																																																																																																																																																																																																																																																																																																																																																																																																																																																																																																																																																																																																																																																																																																																																																																																																																																																																																																																																																																																																																																																																																																																																																																																																													
Regleta =SPH(1)+Q0-X2 Alimentacion auxiliar 24 V dc										Nombre										Nombre										Tipo de cable										Tipo de cable										Página / colu										Número de art										Descripción																																																																																																																																																																																																																																																																																																																																																																																																																																																																																																																																																																																																																																																																																																																																																																																																																																																																																																																																																																																																																																																																																																																																																																																																																																																																																																																																																																																																																																																																																																																																																																																																																																																																																																																																																																																																																																																																																																																																																																																																																																																																																																																																																																																																																																																																																																																																																																																																																																																																																																																																																																																																																																																																																																																																																																																																																																																																																																																																																																																																																																																																																																																																																																																																																																																																																																																																																																																																																																																																																																																																																																																																																																																																																																																																																																																																																																																																																																																																																																																																																																																																																																																																	
Texto de función										Punto de con										Designación de destino										Borne										Puente										Designación										Designación de destino										Punto de con																																																																																																																																																																																																																																																																																																																																																																																																																																																																																																																																																																																																																																																																																																																																																																																																																																																																																																																																																																																																																																																																																																																																																																																																																																																																																																																																																																																																																																																																																																																																																																																																																																																																																																																																																																																																																																																																																																																																																																																																																																																																																																																																																																																																																																																																																																																																																																																																																																																																																																																																																																																																																																																																																																																																																																																																																																																																																																																																																																																																																																																																																																																																																																																																																																																																																																																																																																																																																																																																																																																																																																																																																																																																																																																																																																																																																																																																																																																																																																																																																																																																																																																																	
Alimentacion auxiliar 24 V dc Alimentazione ausiliaria 24 V dc										5										=SF4(1)-TI										1										.										X0.1										-X0.1										1																																																																																																																																																																																																																																																																																																																																																																																																																																																																																																																																																																																																																																																																																																																																																																																																																																																																																																																																																																																																																																																																																																																																																																																																																																																																																																																																																																																																																																																																																																																																																																																																																																																																																																																																																																																																																																																																																																																																																																																																																																																																																																																																																																																																																																																																																																																																																																																																																																																																																																																																																																																																																																																																																																																																																																																																																																																																																																																																																																																																																																																																																																																																																																																																																																																																																																																																																																																																																																																																																																																																																																																																																																																																																																																																																																																																																																																																																																																																																																																																																																																																																																																																	
										2										-F3.1																														-F3.1										1																																																																																																																																																																																																																																																																																																																																																																																																																																																																																																																																																																																																																																																																																																																																																																																																																																																																																																																																																																																																																																																																																																																																																																																																																																																																																																																																																																																																																																																																																																																																																																																																																																																																																																																																																																																																																																																																																																																																																																																																																																																																																																																																																																																																																																																																																																																																																																																																																																																																																																																																																																																																																																																																																																																																																																																																																																																																																																																																																																																																																																																																																																																																																																																																																																																																																																																																																																																																																																																																																																																																																																																																																																																																																																																																																																																																																																																																																																																																																																																																																																																																																																																																											
Alimentacion auxiliar 24 V dc Alimentazione ausiliaria 24 V dc										6										=SF4(1)-TI										2										.										X0.0										-X0.0										1																																																																																																																																																																																																																																																																																																																																																																																																																																																																																																																																																																																																																																																																																																																																																																																																																																																																																																																																																																																																																																																																																																																																																																																																																																																																																																																																																																																																																																																																																																																																																																																																																																																																																																																																																																																																																																																																																																																																																																																																																																																																																																																																																																																																																																																																																																																																																																																																																																																																																																																																																																																																																																																																																																																																																																																																																																																																																																																																																																																																																																																																																																																																																																																																																																																																																																																																																																																																																																																																																																																																																																																																																																																																																																																																																																																																																																																																																																																																																																																																																																																																																																																																	
Alimentacion auxiliar 24 V dc Alimentazione ausiliaria 24 V dc										7										=SF4(1)-TI										3										.										X0.2										-X0.2										1																																																																																																																																																																																																																																																																																																																																																																																																																																																																																																																																																																																																																																																																																																																																																																																																																																																																																																																																																																																																																																																																																																																																																																																																																																																																																																																																																																																																																																																																																																																																																																																																																																																																																																																																																																																																																																																																																																																																																																																																																																																																																																																																																																																																																																																																																																																																																																																																																																																																																																																																																																																																																																																																																																																																																																																																																																																																																																																																																																																																																																																																																																																																																																																																																																																																																																																																																																																																																																																																																																																																																																																																																																																																																																																																																																																																																																																																																																																																																																																																																																																																																																																																	
Restablecimiento maquina Reset macchina										8										=SF4(1)-TI										4										.										8.18										-K8.1										A1																																																																																																																																																																																																																																																																																																																																																																																																																																																																																																																																																																																																																																																																																																																																																																																																																																																																																																																																																																																																																																																																																																																																																																																																																																																																																																																																																																																																																																																																																																																																																																																																																																																																																																																																																																																																																																																																																																																																																																																																																																																																																																																																																																																																																																																																																																																																																																																																																																																																																																																																																																																																																																																																																																																																																																																																																																																																																																																																																																																																																																																																																																																																																																																																																																																																																																																																																																																																																																																																																																																																																																																																																																																																																																																																																																																																																																																																																																																																																																																																																																																																																																																																	
Restablecimiento maquina Reset macchina										9										=SF4(1)-TI										5										.										8.10										-K8.2										A1																																																																																																																																																																																																																																																																																																																																																																																																																																																																																																																																																																																																																																																																																																																																																																																																																																																																																																																																																																																																																																																																																																																																																																																																																																																																																																																																																																																																																																																																																																																																																																																																																																																																																																																																																																																																																																																																																																																																																																																																																																																																																																																																																																																																																																																																																																																																																																																																																																																																																																																																																																																																																																																																																																																																																																																																																																																																																																																																																																																																																																																																																																																																																																																																																																																																																																																																																																																																																																																																																																																																																																																																																																																																																																																																																																																																																																																																																																																																																																																																																																																																																																																																	
Aumenta enrollamiento Incrementa fasciatura										10										=SF4(1)-TI										6										.										X0.1										-X0.1										4																																																																																																																																																																																																																																																																																																																																																																																																																																																																																																																																																																																																																																																																																																																																																																																																																																																																																																																																																																																																																																																																																																																																																																																																																																																																																																																																																																																																																																																																																																																																																																																																																																																																																																																																																																																																																																																																																																																																																																																																																																																																																																																																																																																																																																																																																																																																																																																																																																																																																																																																																																																																																																																																																																																																																																																																																																																																																																																																																																																																																																																																																																																																																																																																																																																																																																																																																																																																																																																																																																																																																																																																																																																																																																																																																																																																																																																																																																																																																																																																																																																																																																																																	
Aumenta enrollamiento Incrementa fasciatura										11										=SF4(1)-TI										7										.										8.11										-K8.3										A1																																																																																																																																																																																																																																																																																																																																																																																																																																																																																																																																																																																																																																																																																																																																																																																																																																																																																																																																																																																																																																																																																																																																																																																																																																																																																																																																																																																																																																																																																																																																																																																																																																																																																																																																																																																																																																																																																																																																																																																																																																																																																																																																																																																																																																																																																																																																																																																																																																																																																																																																																																																																																																																																																																																																																																																																																																																																																																																																																																																																																																																																																																																																																																																																																																																																																																																																																																																																																																																																																																																																																																																																																																																																																																																																																																																																																																																																																																																																																																																																																																																																																																																																	
Disminuye enrollamiento Decrementa fasciatura										12										=SF4(1)-TI										8										.										X0.1										-X0.1										3																																																																																																																																																																																																																																																																																																																																																																																																																																																																																																																																																																																																																																																																																																																																																																																																																																																																																																																																																																																																																																																																																																																																																																																																																																																																																																																																																																																																																																																																																																																																																																																																																																																																																																																																																																																																																																																																																																																																																																																																																																																																																																																																																																																																																																																																																																																																																																																																																																																																																																																																																																																																																																																																																																																																																																																																																																																																																																																																																																																																																																																																																																																																																																																																																																																																																																																																																																																																																																																																																																																																																																																																																																																																																																																																																																																																																																																																																																																																																																																																																																																																																																																																	
Disminuye enrollamiento Decrementa fasciatura										13										=SF4(1)-TI										9										.										8.12										-Q5.2										1.13																																																																																																																																																																																																																																																																																																																																																																																																																																																																																																																																																																																																																																																																																																																																																																																																																																																																																																																																																																																																																																																																																																																																																																																																																																																																																																																																																																																																																																																																																																																																																																																																																																																																																																																																																																																																																																																																																																																																																																																																																																																																																																																																																																																																																																																																																																																																																																																																																																																																																																																																																																																																																																																																																																																																																																																																																																																																																																																																																																																																																																																																																																																																																																																																																																																																																																																																																																																																																																																																																																																																																																																																																																																																																																																																																																																																																																																																																																																																																																																																																																																																																																																																	
Fault arrancador grupo enroll. Parc Fault avviatore fasciatura										14										=SF4(1)-TI										10										.										5.20										-Q5.3										95																																																																																																																																																																																																																																																																																																																																																																																																																																																																																																																																																																																																																																																																																																																																																																																																																																																																																																																																																																																																																																																																																																																																																																																																																																																																																																																																																																																																																																																																																																																																																																																																																																																																																																																																																																																																																																																																																																																																																																																																																																																																																																																																																																																																																																																																																																																																																																																																																																																																																																																																																																																																																																																																																																																																																																																																																																																																																																																																																																																																																																																																																																																																																																																																																																																																																																																																																																																																																																																																																																																																																																																																																																																																																																																																																																																																																																																																																																																																																																																																																																																																																																																																	
Fault arrancador grupo enroll. Parc Fault avviatore fasciatura										15										=SF4(1)-TI										11										.										8.15										-F4.1										1.14																																																																																																																																																																																																																																																																																																																																																																																																																																																																																																																																																																																																																																																																																																																																																																																																																																																																																																																																																																																																																																																																																																																																																																																																																																																																																																																																																																																																																																																																																																																																																																																																																																																																																																																																																																																																																																																																																																																																																																																																																																																																																																																																																																																																																																																																																																																																																																																																																																																																																																																																																																																																																																																																																																																																																																																																																																																																																																																																																																																																																																																																																																																																																																																																																																																																																																																																																																																																																																																																																																																																																																																																																																																																																																																																																																																																																																																																																																																																																																																																																																																																																																																																	
Error del sistema Errore sistema										15										=SF4(1)-TI										12										.										5.30										-T5.1										R1																																																																																																																																																																																																																																																																																																																																																																																																																																																																																																																																																																																																																																																																																																																																																																																																																																																																																																																																																																																																																																																																																																																																																																																																																																																																																																																																																																																																																																																																																																																																																																																																																																																																																																																																																																																																																																																																																																																																																																																																																																																																																																																																																																																																																																																																																																																																																																																																																																																																																																																																																																																																																																																																																																																																																																																																																																																																																																																																																																																																																																																																																																																																																																																																																																																																																																																																																																																																																																																																																																																																																																																																																																																																																																																																																																																																																																																																																																																																																																																																																																																																																																																																	
Seguridad restaurado Sicurezze ripristinate										17										=SF4(1)-TI										13										.										8.13										-K7.2										14																																																																																																																																																																																																																																																																																																																																																																																																																																																																																																																																																																																																																																																																																																																																																																																																																																																																																																																																																																																																																																																																																																																																																																																																																																																																																																																																																																																																																																																																																																																																																																																																																																																																																																																																																																																																																																																																																																																																																																																																																																																																																																																																																																																																																																																																																																																																																																																																																																																																																																																																																																																																																																																																																																																																																																																																																																																																																																																																																																																																																																																																																																																																																																																																																																																																																																																																																																																																																																																																																																																																																																																																																																																																																																																																																																																																																																																																																																																																																																																																																																																																																																																																	
Seguridad restaurado Sicurezze ripristinate										18										=SF4(1)-TI										14										.										8.14										-K7.2										11																																																																																																																																																																																																																																																																																																																																																																																																																																																																																																																																																																																																																																																																																																																																																																																																																																																																																																																																																																																																																																																																																																																																																																																																																																																																																																																																																																																																																																																																																																																																																																																																																																																																																																																																																																																																																																																																																																																																																																																																																																																																																																																																																																																																																																																																																																																																																																																																																																																																																																																																																																																																																																																																																																																																																																																																																																																																																																																																																																																																																																																																																																																																																																																																																																																																																																																																																																																																																																																																																																																																																																																																																																																																																																																																																																																																																																																																																																																																																																																																																																																																																																																																	
Seguridad restaurado Sicurezze ripristinate										19										=SF4(1)-TI										15										.										6.11										-T5.1										02																																																																																																																																																																																																																																																																																																																																																																																																																																																																																																																																																																																																																																																																																																																																																																																																																																																																																																																																																																																																																																																																																																																																																																																																																																																																																																																																																																																																																																																																																																																																																																																																																																																																																																																																																																																																																																																																																																																																																																																																																																																																																																																																																																																																																																																																																																																																																																																																																																																																																																																																																																																																																																																																																																																																																																																																																																																																																																																																																																																																																																																																																																																																																																																																																																																																																																																																																																																																																																																																																																																																																																																																																																																																																																																																																																																																																																																																																																																																																																																																																																																																																																																																	
Marcha rotación Marcia rotazione										20										=SF4(1)-TI										16										.										X0.1										-X0.1										2																																																																																																																																																																																																																																																																																																																																																																																																																																																																																																																																																																																																																																																																																																																																																																																																																																																																																																																																																																																																																																																																																																																																																																																																																																																																																																																																																																																																																																																																																																																																																																																																																																																																																																																																																																																																																																																																																																																																																																																																																																																																																																																																																																																																																																																																																																																																																																																																																																																																																																																																																																																																																																																																																																																																																																																																																																																																																																																																																																																																																																																																																																																																																																																																																																																																																																																																																																																																																																																																																																																																																																																																																																																																																																																																																																																																																																																																																																																																																																																																																																																																																																																																	
Restablecimiento maquina Reset macchina										9										=SF4(1)-TI										17										.										X0.1										-X0.1										4																																																																																																																																																																																																																																																																																																																																																																																																																																																																																																																																																																																																																																																																																																																																																																																																																																																																																																																																																																																																																																																																																																																																																																																																																																																																																																																																																																																																																																																																																																																																																																																																																																																																																																																																																																																																																																																																																																																																																																																																																																																																																																																																																																																																																																																																																																																																																																																																																																																																																																																																																																																																																																																																																																																																																																																																																																																																																																																																																																																																																																																																																																																																																																																																																																																																																																																																																																																																																																																																																																																																																																																																																																																																																																																																																																																																																																																																																																																																																																																																																																																																																																																																	

Plano de bornes

FOS_F13_010

[illegible]

Plano de bornes

FOS_F13_010

[illegible]

Plano de bornes

FOS_F13_010

[illegible]

Fosber S.p.A.
Via Provinciale per Camaiore, 27/28 Monsagrati (Lucca) - Italy
T. +39.0583.3891 - F. +39.0583.389205 / 385567
E-mail: info@fosber.it

Comisión
CORRUGADORA GUATEMALA

Fecha	01/07/2017	
Autor	Lorenzo Centi	
Comprobación		
		+Q0-003

SINGLE PREHEATER B.0
 Plano de bornes =SPH(1)+Q0-X4
 Schema morsetti =SPH(1)+Q0-X4

Job nr. 4607	= SPH(1)
	+Q0
Comisión COM17310	Hoja 17
	Hoja 43

Plano de bornes

FOS_F13_010

[illegible]

Plano de bornes

FOS_F13_010

[illegible]

Plano de bornes

FOS_F13_010

[illegible]

0	1	2	3	4	5	6	7	8	9																																																																																																																																																																																																																																																																																																																																																																																																																																																																																																																																																																																																																																																																																																																																																																																																																																																																																																																																																																																																																																																																																																																																																																																																																																																																																																																																																																																																																																																																																																																																																																																																																																																																																																																																																																																																																																																																																																																																																																																																																																																																																																																																																																																																																																																																																																																																																																																																																																																																																																																																																																																																																																																																																																																																																																																																																																																																																																																																																																																																																																																																																																																																																																																																																																																																																																																																																																																																																																																																																																																																																																																																																																																																																																																																																																																																																																																																																																																																																																																																																																																																																																																																																																																																																																																																																																																																																																																																																																																																																																																																																																																																																																																																																																																																																																																																																																																																																																																																																																																																																																																																																																																																																																																																																																																																																																																																																																																																																																																																																																																																																																																																																																																																																				
Plano de bornes										FOS_F13_010																																																																																																																																																																																																																																																																																																																																																																																																																																																																																																																																																																																																																																																																																																																																																																																																																																																																																																																																																																																																																																																																																																																																																																																																																																																																																																																																																																																																																																																																																																																																																																																																																																																																																																																																																																																																																																																																																																																																																																																																																																																																																																																																																																																																																																																																																																																																																																																																																																																																																																																																																																																																																																																																																																																																																																																																																																																																																																																																																																																																																																																																																																																																																																																																																																																																																																																																																																																																																																																																																																																																																																																																																																																																																																																																																																																																																																																																																																																																																																																																																																																																																																																																																																																																																																																																																																																																																																																																																																																																																																																																																																																																																																																																																																																																																																																																																																																																																																																																																																																																																																																																																																																																																																																																																																																																																																																																																																																																																																																																																																																																																																																																																																																																																			
Regleta =SPH(1)+Q0-X8										Nombre										Nombre										Tipo de cable										Tipo de cable										Página / colu										Número de art										Descripción																																																																																																																																																																																																																																																																																																																																																																																																																																																																																																																																																																																																																																																																																																																																																																																																																																																																																																																																																																																																																																																																																																																																																																																																																																																																																																																																																																																																																																																																																																																																																																																																																																																																																																																																																																																																																																																																																																																																																																																																																																																																																																																																																																																																																																																																																																																																																																																																																																																																																																																																																																																																																																																																																																																																																																																																																																																																																																																																																																																																																																																																																																																																																																																																																																																																																																																																																																																																																																																																																																																																																																																																																																																																																																																																																																																																																																																																																																																																																																																																																																																																																																																																																																																																																																																																																																																																																																																																																																																																																																																																																																																																																																																																																																																																																																																																																																																																																																																																																																																																																																																																																																																																																																																																																																																																																																																																																																																																																																																																																																																																																																																																																							
Texto de función																																																																																																																																																																																																																																																																																																																																																																																																																																																																																																																																																																																																																																																																																																																																																																																																																																																																																																																																																																																																																																																																																																																																																																																																																																																																																																																																																																																																																																																																																																																																																																																																																																																																																																																																																																																																																																																																																																																																																																																																																																																																																																																																																																																																																																																																																																																																																																																																																																																																																																																																																																																																																																																																																																																																																																																																																																																																																																																																																																																																																																																																																																																																																																																																																																																																																																																																																																																																																																																																																																																																																																																																																																																																																																																																																																																																																																																																																																																																																																																																																																																																																																																																																																																																																																																																																																																																																																																																																																																																																																																																																																																																																																																																																																																																																																																																																																																																																																																																																																																																																																																																																																																																																																																																																																																																																																																																																																																																																																																																																																																																																																																																																																																																																													

0	1	2	3	4	5	6	7	8	9											
Plano de bornes										FOS_F13_010										
Texto de función						Nombre	Regleta					Nombre						Página / colu	Número de art	Descripción
							=SPH(1)+Q0-X0.0													
							Alimentacion auxiliar 24 V dc													
							Punto de con	Designación de destino	Borne	Puente	Designación	Designación de destino	Punto de con	Tipo de cable						
Alimentacion auxiliar 24 V dc Alimentazione ausiliaria 24 V dc									1	•								/3.7	31020030	MORS.A MOLLA ZDK 2,5/1V WEID*
										•									31020040	PIASTRE TERM. ZAP/ZDK WEID.*
										•									31014143	FERMI X MORS. EW35 WEIDM .
Alimentacion auxiliar 24 V dc Alimentazione ausiliaria 24 V dc									2	•								/3.7	31020030	MORS.A MOLLA ZDK 2,5/1V WEID*
Alimentacion auxiliar 24 V dc Alimentazione ausiliaria 24 V dc									3	•								/3.7	31020030	MORS.A MOLLA ZDK 2,5/1V WEID*
Alimentacion auxiliar 24 V dc Alimentazione ausiliaria 24 V dc									4	•								/3.8	31020030	MORS.A MOLLA ZDK 2,5/1V WEID*
																	</			

0	1	2	3	4	5	6	7	8	9																																																																																																																																																																																																																																																																																																																																																																																																																																																																																																																																																																																																																																																																																																																																																																																																																																																																																																																																																																																																																																																																																																																																																																																																																																																																																																																																										
Plano de bornes										FOS_F13_010																																																																																																																																																																																																																																																																																																																																																																																																																																																																																																																																																																																																																																																																																																																																																																																																																																																																																																																																																																																																																																																																																																																																																																																																																																																																																																																																									
Regleta =SPH(1)+Q0-X0.1 Alimentacion auxiliar 24 V dc										Regleta =SPH(1)+Q0-X0.1 Alimentacion auxiliar 24 V dc										Regleta =SPH(1)+Q0-X0.1 Alimentacion auxiliar 24 V dc										Regleta =SPH(1)+Q0-X0.1 Alimentacion auxiliar 24 V dc										Regleta =SPH(1)+Q0-X0.1 Alimentacion auxiliar 24 V dc										Regleta =SPH(1)+Q0-X0.1 Alimentacion auxiliar 24 V dc										Regleta =SPH(1)+Q0-X0.1 Alimentacion auxiliar 24 V dc										Regleta =SPH(1)+Q0-X0.1 Alimentacion auxiliar 24 V dc										Regleta =SPH(1)+Q0-X0.1 Alimentacion auxiliar 24 V dc										Regleta =SPH(1)+Q0-X0.1 Alimentacion auxiliar 24 V dc										Regleta =SPH(1)+Q0-X0.1 Alimentacion auxiliar 24 V dc										Regleta =SPH(1)+Q0-X0.1 Alimentacion auxiliar 24 V dc										Regleta =SPH(1)+Q0-X0.1 Alimentacion auxiliar 24 V dc										Regleta =SPH(1)+Q0-X0.1 Alimentacion auxiliar 24 V dc										Regleta =SPH(1)+Q0-X0.1 Alimentacion auxiliar 24 V dc										Regleta =SPH(1)+Q0-X0.1 Alimentacion auxiliar 24 V dc										Regleta =SPH(1)+Q0-X0.1 Alimentacion auxiliar 24 V dc										Regleta =SPH(1)+Q0-X0.1 Alimentacion auxiliar 24 V dc										Regleta =SPH(1)+Q0-X0.1 Alimentacion auxiliar 24 V dc										Regleta =SPH(1)+Q0-X0.1 Alimentacion auxiliar 24 V dc										Regleta =SPH(1)+Q0-X0.1 Alimentacion auxiliar 24 V dc										Regleta =SPH(1)+Q0-X0.1 Alimentacion auxiliar 24 V dc										Regleta =SPH(1)+Q0-X0.1 Alimentacion auxiliar 24 V dc										Regleta =SPH(1)+Q0-X0.1 Alimentacion auxiliar 24 V dc										Regleta =SPH(1)+Q0-X0.1 Alimentacion auxiliar 24 V dc										Regleta =SPH(1)+Q0-X0.1 Alimentacion auxiliar 24 V dc										Regleta =SPH(1)+Q0-X0.1 Alimentacion auxiliar 24 V dc										Regleta =SPH(1)+Q0-X0.1 Alimentacion auxiliar 24 V dc										Regleta =SPH(1)+Q0-X0.1 Alimentacion auxiliar 24 V dc										Regleta =SPH(1)+Q0-X0.1 Alimentacion auxiliar 24 V dc										Regleta =SPH(1)+Q0-X0.1 Alimentacion auxiliar 24 V dc										Regleta =SPH(1)+Q0-X0.1 Alimentacion auxiliar 24 V dc										Regleta =SPH(1)+Q0-X0.1 Alimentacion auxiliar 24 V dc										Regleta =SPH(1)+Q0-X0.1 Alimentacion auxiliar 24 V dc										Regleta =SPH(1)+Q0-X0.1 Alimentacion auxiliar 24 V dc										Regleta =SPH(1)+Q0-X0.1 Alimentacion auxiliar 24 V dc										Regleta =SPH(1)+Q0-X0.1 Alimentacion auxiliar 24 V dc										Regleta =SPH(1)+Q0-X0.1 Alimentacion auxiliar 24 V dc										Regleta =SPH(1)+Q0-X0.1 Alimentacion auxiliar 24 V dc										Regleta =SPH(1)+Q0-X0.1 Alimentacion auxiliar 24 V dc										Regleta =SPH(1)+Q0-X0.1 Alimentacion auxiliar 24 V dc										Regleta =SPH(1)+Q0-X0.1 Alimentacion auxiliar 24 V dc										Regleta =SPH(1)+Q0-X0.1 Alimentacion auxiliar 24 V dc										Regleta =SPH(1)+Q0-X0.1 Alimentacion auxiliar 24 V dc										Regleta =SPH(1)+Q0-X0.1 Alimentacion auxiliar 24 V dc										Regleta =SPH(1)+Q0-X0.1 Alimentacion auxiliar 24 V dc										Regleta =SPH(1)+Q0-X0.1 Alimentacion auxiliar 24 V dc										Regleta =SPH(1)+Q0-X0.1 Alimentacion auxiliar 24 V dc										Regleta =SPH(1)+Q0-X0.1 Alimentacion auxiliar 24 V dc										Regleta =SPH(1)+Q0-X0.1 Alimentacion auxiliar 24 V dc										Regleta =SPH(1)+Q0-X0.1 Alimentacion auxiliar 24 V dc										Regleta =SPH(1)+Q0-X0.1 Alimentacion auxiliar 24 V dc										Regleta =SPH(1)+Q0-X0.1 Alimentacion auxiliar 24 V dc										Regleta =SPH(1)+Q0-X0.1 Alimentacion auxiliar 24 V dc										Regleta =SPH(1)+Q0-X0.1 Alimentacion auxiliar 24 V dc										Regleta =SPH(1)+Q0-X0.1 Alimentacion auxiliar 24 V dc										Regleta =SPH(1)+Q0-X0.1 Alimentacion auxiliar 24 V dc										Regleta =SPH(1)+Q0-X0.1 Alimentacion auxiliar 24 V dc										Regleta =SPH(1)+Q0-X0.1 Alimentacion auxiliar 24 V dc										Regleta =SPH(1)+Q0-X0.1 Alimentacion auxiliar 24 V dc										Regleta =SPH(1)+Q0-X0.1 Alimentacion auxiliar 24 V dc										Regleta =SPH(1)+Q0-X0.1 Alimentacion auxiliar 24 V dc										Regleta =SPH(1)+Q0-X0.1 Alimentacion auxiliar 24 V dc										Regleta =SPH(1)+Q0-X0.1 Alimentacion auxiliar 24 V dc										Regleta =SPH(1)+Q0-X0.1 Alimentacion auxiliar 24 V dc										Regleta =SPH(1)+Q0-X0.1 Alimentacion auxiliar 24 V dc										Regleta =SPH(1)+Q0-X0.1 Alimentacion auxiliar 24 V dc										Regleta =SPH(1)+Q0-X0.1 Alimentacion auxiliar 24 V dc										Regleta =SPH(1)+Q0-X0.1 Alimentacion auxiliar 24 V dc										Regleta =SPH(1)+Q0-X0.1 Alimentacion auxiliar 24 V dc										Regleta =SPH(1)+Q0-X0.1 Alimentacion auxiliar 24 V dc										Regleta =SPH(1)+Q0-X0.1 Alimentacion auxiliar 24 V dc										Regleta =SPH(1)+Q0-X0.1 Alimentacion auxiliar 24 V dc										Regleta =SPH(1)+Q0-X0.1 Alimentacion auxiliar 24 V dc										Regleta =SPH(1)+Q0-X0.1 Alimentacion auxiliar 24 V dc										Regleta =SPH(1)+Q0-X0.1 Alimentacion auxiliar 24 V dc										Regleta =SPH(1)+Q0-X0.1 Alimentacion auxiliar 24 V dc										Regleta =SPH(1)+Q0-X0.1 Alimentacion auxiliar 24 V dc										Regleta =SPH(1)+Q0-X0.1 Alimentacion auxiliar 24 V dc										Regleta =SPH(1)+Q0-X0.1 Alimentacion auxiliar 24 V dc										Regleta =SPH(1)+Q0-X0.1 Alimentacion auxiliar 24 V dc										Regleta =SPH(1)+Q0-X0.1 Alimentacion auxiliar 24 V dc										Regleta =SPH(1)+Q0-X0.1 Alimentacion auxiliar 24 V dc										Regleta =SPH(1)+Q0-X0.1 Alimentacion auxiliar 24 V dc										Regleta =SPH(1)+Q0-X0.1 Alimentacion auxiliar 24 V dc										Regleta =SPH(1)+Q0-X0.1 Alimentacion auxiliar 24 V dc										Regleta =SPH(1)+Q0-X0.1 Alimentacion auxiliar 24 V dc										Regleta =SPH(1)+Q0-X0.1 Alimentacion auxiliar 24 V dc										Regleta =SPH(1)+Q0-X0.1 Alimentacion auxiliar 24 V dc										Regleta =SPH(1)+Q0-X0.1 Alimentacion auxiliar 24 V dc										Regleta =SPH(1)+Q0-X0.1 Alimentacion auxiliar 24 V dc										Regleta =SPH(1)+Q0-X0.1 Alimentacion auxiliar 24 V dc										Regleta =SPH(1)+Q0-X0.1 Alimentacion auxiliar 24 V dc										Regleta =SPH(1)+Q0-X0.1 Alimentacion auxiliar 24 V dc										Regleta =SPH(1)+Q0-X0.1 Alimentacion auxiliar 24 V dc										Regleta =SPH(1)+Q0-X0.1 Alimentacion auxiliar 24 V dc										Regleta =SPH(1)+Q0-X0.1 Alimentacion auxiliar 24 V dc										Regleta =SPH(1)+Q0-X0.1 Alimentacion auxiliar 24 V dc										Regleta =SPH(1)+Q0-X0.1 Alimentacion auxiliar 24 V dc										Regleta =SPH(1)+Q0-X0.1 Alimentacion auxiliar 24 V dc										Regleta =SPH(1)+Q0-X0.1 Alimentacion auxiliar 24 V dc										Regleta =SPH(1)+Q0-X0.1 Alimentacion auxiliar 24 V dc										Regleta =SPH(1)+Q0-X0.1 Alimentacion auxiliar 24 V dc										Regleta =SPH(1)+Q0-X0.1 Alimentacion auxiliar 24 V dc										Regleta =SPH(1)+Q0-X0.1 Alimentacion auxiliar 24 V dc										Regleta =SPH(1)+Q0-X0.1 Alimentacion auxiliar 24 V dc										Regleta =SPH(1)+Q0-X0.1 Alimentacion auxiliar 24 V dc										Regleta =SPH(1)+Q0-X0.1 Alimentacion auxiliar 24 V dc										Regleta =SPH(1)+Q0-X0.1 Alimentacion auxiliar 24 V dc										Regleta =SPH(1)+Q0-X0.1 Alimentacion auxiliar 24 V dc										Regleta =SPH(1)+Q0-X0.1 Alimentacion auxiliar 24 V dc										Regleta =SPH(1)+Q0-X0.1 Alimentacion auxiliar 24 V dc										Regleta =SPH(1)+Q0-X0.1 Alimentacion auxiliar 24 V dc										Regleta =SPH(1)+Q0-X0.1 Alimentacion auxiliar 24 V dc										Regleta =SPH(1)+Q0-X0.1 Alimentacion auxiliar 24 V dc										Regleta =SPH(1)+Q0-X0.1 Alimentacion auxiliar 24 V dc										Regleta =SPH(1)+Q0-X0.1 Alimentacion auxiliar 24 V dc										Regleta =SPH(1)+Q0-X0.1 Alimentacion auxiliar 24 V dc										Regleta =SPH(1)+Q0-X0.1 Alimentacion auxiliar 24 V dc										Regleta =SPH(1)+Q0-X0.1 Alimentacion auxiliar 24 V dc										Regleta =SPH(1)+Q0-X0.1 Alimentacion auxiliar 24 V dc										Regleta =SPH(1)+Q0-X0.1 Alimentacion auxiliar 24 V dc										Regleta =SPH(1)+Q0-X0.1 Alimentacion auxiliar 24 V dc										Regleta =SPH(1)+Q0-X0.1 Alimentacion auxiliar 24 V dc										Regleta =SPH(1)+Q0-X0.1 Alimentacion auxiliar 24 V dc										Regleta =SPH(1)+Q0-X0.1 Alimentacion auxiliar 24 V dc										Regleta =SPH(1)+Q0-X0.1 Alimentacion auxiliar 24 V dc										Regleta =SPH(1)+Q0-X0.1 Alimentacion auxiliar 24 V dc										Regleta =SPH(1)+Q0-X0.1 Alimentacion auxiliar 24 V dc										Regleta =SPH(1)+Q0-X0.1 Alimentacion auxiliar 24 V dc									

Plano de bornes

FOS_F13_010

[illegible]

Fosber S.p.A.
Via Provinciale per Camaiore, 27/28 Monsagrati (Lucca) - Italy
T. +39.0583.3891 - F. +39.0583.389205 / 385567
E-mail: info@fosber.it

Comisión
CORRUGADORA GUATEMALA

Fecha	01/07/2017	
Autor	Lorenzo Centi	
Comprobación		
		+Q0-003

SINGLE PREHEATER B.0
 Plano de bornes =SPH(1)+Q0-X0.2
 Schema morsetti =SPH(1)+Q0-X0.2

Job nr. 4607	= SPH(1)
	+Q0
Comisión COM17310	Hoja 24
	Hoja 43

0	1	2	3	4	5	6	7	8	9
---	---	---	---	---	---	---	---	---	---

Resumen de cables

FOS_F10_112

[illegible]

Fosber S.p.A. Via Provinciale per Camaiore, 27/28 Monsagrati (Lucca) - Italy T. +39.0583.3891 - F. +39.0583.389205 / 385567 E-mail: info@fosber.it	Comisión CORRUGADORA GUATEMALA	Fecha	01/07/2017		SINGLE PREHEATER B.0 Resumen de cables : =SPH(1)-W1 - =SPH(1)-W9 Sommario cavi : =SPH(1)-W1 - =SPH(1)-W9	Job nr.	= SPH(1)
		Autor	Lorenzo Centi			4607	+Q0
		Comprobación				Comisión	Hoja 25
			+Q0-003	COM17310		Hoja 43	

0	1	2	3	4	5	6	7	8	9
---	---	---	---	---	---	---	---	---	---

Resumen de cables

FOS_F10_110

[illegible]

Fosber S.p.A. Via Provinciale per Camaiore, 27/28 Monsagrati (Lucca) - Italy T. +39.0583.3891 - F. +39.0583.389205 / 385567 E-mail: info@fosber.it	Comisión CORRUGADORA GUATEMALA	Fecha	01/07/2017		SINGLE PREHEATER B.0 Resumen de cables : =SPH(1)-W800 - =SPH(1)-W803 Sommario cavi : =SPH(1)-W800 - =SPH(1)-W803	Job nr.	= SPH(1)	
		Autor	Lorenzo Centi			4607	+Q0	
		Comprobación				Comisión	Hoja	26
				+Q0-003			COM17310	Hoja

Índice de páginas

FOS_F06_010

[illegible]

Resumen de cables

FOS_F10_112

[illegible]

Fosber S.p.A.
Via Provinciale per Camaiore, 27/28 Monsagrati (Lucca) - Italy
T. +39.0583.3891 - F. +39.0583.389205 / 385567
E-mail: info@fosber.it

Comisión
CORRUGADORA GUATEMALA

Fecha	01/07/2017	
Autor	Lorenzo Centi	
Comprobación		
		+Q0-003

SINGLE PREHEATER B.0
Resumen de cables : =SPH(1)-W1 - =SPH(1)-W9
Sommario cavi : =SPH(1)-W1 - =SPH(1)-W9

Job nr. 4607	= SPH(1)
	+W0
Comisión COM17310	Hoja 2
	Hoja 43

0	1	2	3	4	5	6	7	8	9
---	---	---	---	---	---	---	---	---	---

Resumen de cables

FOS_F10_110

[illegible]

Fosber S.p.A. Via Provinciale per Camaiore, 27/28 Monsagrati (Lucca) - Italy T. +39.0583.3891 - F. +39.0583.389205 / 385567 E-mail: info@fosber.it	Comisión CORRUGADORA GUATEMALA	Fecha	01/07/2017		SINGLE PREHEATER B.0 Resumen de cables : =SPH(1)-W800 - =SPH(1)-W803 Sommario cavi : =SPH(1)-W800 - =SPH(1)-W803	Job nr.	= SPH(1)
		Autor	Lorenzo Centi			4607	+W0
		Comprobación				Comisión	Hoja 3
			+Q0-003	COM17310		Hoja 43	

Índice de páginas

FOS_F06_010

[illegible]

0	1	2	3	4	5	6	7	8	9
<div>Lista de artículos Distinta articoli</div>									
<div><div>Fosber S.p.A.</div><div>Via Provinciale per Camaione, 27/28 Monsagrati (Lucca) - Italy</div><div>T. +39.0583.3891 - F. +39.0583.389205 / 385567</div><div>E-mail: info@fosber.it</div></div>		<div>Comisión</div> <div>CORRUGADORA GUATEMALA</div>		Fecha	01/07/2017	<div>SINGLE PREHEATER B.0</div> <div>Papel cara sección</div> <div>Copertina sezione</div>		Job nr.	= SPH(1)
				Autor	Lorenzo Centi			4607	+P0
				Comprobación				Comisión	Hoja 1
					+Q0-003			COM17310	Hoja 43

0123456789

Lista de artículos

FOS_F01_010

Ident. medio explotación	Cantidad	Número de artículo	Designación	Designazione	Designation	Designación	Comentario
+Q0	1	36540000	CUADRO ELECTRICO ELECTRICO AE 1360 RITTAL	ARMADIETTO AE 1360.500 RITTAL	ELECTRICAL CABINET AE 1360 RITTAL	CUADRO ELECTRICO ELECTRICO AE 1360 RITTAL	
+Q0-A7.1	1	32120771	MODULO SEGURIDAD XPSDMB1132P	MOD. XPS-DMB 2 INT. MAGN. *	SAFETY CONTACT MODULE XPSDMB1132P	MODULO SEGURIDAD XPSDMB1132P	
+Q0-F3.1	1	35055929	FUSE 5X20 4A FAST	FUSIBILE 5X20 RAP 4A CE/UL *	FUSE 5X20 4A FAST	FUSE 5X20 4A FAST	
+Q0-F3.1	1	31020092	CLAVIJA PORTAFUSIBLE SIHA WEID*	SPINA PORTAFUSIBILE SIHA WEID*		CLAVIJA PORTAFUSIBLE SIHA WEID*	
+Q0-F4.1	1	35014000	INTERRUPTOR MAGNETOTERMICO FAZ-C0,5/1	MTERM FAZ-C0,5/1	MAGNETOTHERMAL SWITCH FAZ-C0,5/1	INTERRUPTOR MAGNETOTERMICO FAZ-C0,5/1	
+Q0-F4.1	1	35014096	CONT. AUX MOELLER Z-NHK	CONT. AUX MOELLER Z-NHK	AUX CONT.MOELLER Z-NHK	CONT. AUX MOELLER Z-NHK	
+Q0-K7.1	1	32300900	RELE 700-HLT2Z24 TBS24 VDC	RELÈ A-B 700-HLT2Z24 TBS24 VDC	RELAYS 700-HLT2Z24 TBS24 VDC	RELE 700-HLT2Z24 TBS24 VDC	
+Q0-K7.2	1	32300900	RELE 700-HLT2Z24 TBS24 VDC	RELÈ A-B 700-HLT2Z24 TBS24 VDC	RELAYS 700-HLT2Z24 TBS24 VDC	RELE 700-HLT2Z24 TBS24 VDC	
+Q0-K8.1	1	32300905	RELE 700-HLT22Z24 TBR24VDC	RELÈ A-B 700-HLT22Z24 TBR24VDC	RELAYS 700-HLT22Z24 TBR24VDC	RELE 700-HLT22Z24 TBR24VDC	
+Q0-K8.2	1	32300900	RELE 700-HLT2Z24 TBS24 VDC	RELÈ A-B 700-HLT2Z24 TBS24 VDC	RELAYS 700-HLT2Z24 TBS24 VDC	RELE 700-HLT2Z24 TBS24 VDC	
+Q0-K8.3	1	32300900	RELE 700-HLT2Z24 TBS24 VDC	RELÈ A-B 700-HLT2Z24 TBS24 VDC	RELAYS 700-HLT2Z24 TBS24 VDC	RELE 700-HLT2Z24 TBS24 VDC	
+Q0-M4.1	1	36541506	PFANNENBERG PF32.000 24 VDC *	PFANNENBERG PF32.000 24 VDC *	PFANNENBERG PF32.000 24 VDC *	PFANNENBERG PF32.000 24 VDC *	
+Q0-M4.1	1	36541507	PFANNENBERG PFA30.000 GRIGLIA*	PFANNENBERG PFA30.000 GRIGLIA*	PFANNENBERG PFA30.000 GRIGLIA*	PFANNENBERG PFA30.000 GRIGLIA*	
+Q0-P4.1	1	36541511	PFANNENBERG FLZ 530 TERM.(NC)	PFANNENBERG FLZ 530 TERM.(NA)*	PFANNENBERG FLZ 530 THERM.(NC)	PFANNENBERG FLZ 530 TERM.(NC)	
+Q0-PE0	1	36080095	BARRA TIERRA ART.37389 LEGRAND	BARRA TERRA M5 12X4X990MM *	37389 LEGRAND GROUND BAR	BARRA TIERRA ART.37389 LEGRAND	
+Q0-Q5.1	1	32368524	INTERRUPTOR MAGNETOTERMICO PKZM0-16	MTERM. PKZM0-16 \$	MAGNETOTHERMAL SWITCH PKZM0-16	INTERRUPTOR MAGNETOTERMICO PKZM0-16	
+Q0-Q5.1	1	32368550	CONTACTO NHI11-PKZM0	CONTATTI NHI11-PKZ0	CONN. NHI11-PKZM0	CONTACTO NHI11-PKZM0	
+Q0-Q5.2	1	32368520	INTERRUPTOR MAGNETOTERMICO PKZM0-6,3 \$	MTERM. PKZM0-6,3 \$	MAGNETOTHERMAL SWITCH PKZM0-6,3 \$	INTERRUPTOR MAGNETOTERMICO PKZM0-6,3 \$	
+Q0-Q5.2	1	32368550	CONTACTO NHI11-PKZM0	CONTATTI NHI11-PKZ0	CONN. NHI11-PKZM0	CONTACTO NHI11-PKZM0	
+Q0-Q5.3	1	32280006	SIEMENS 3RM1302-1AA04 SAFETY	SIEMENS 3RM1302-1AA04 SAFETY *	SIEMENS 3RM1302-1AA04 SAFETY	SIEMENS 3RM1302-1AA04 SAFETY	
+Q0-T5.1	1	51500864	A-B DRI.PF40P 400/480V 4.0KW	A-B DRI.PF40P 400/480V 4.0KW *	A-B DRI.PF40P 400/480V 4.0KW	A-B DRI.PF40P 400/480V 4.0KW	
+Q0-X1	3	31020006	BORN.A MUELLE ZDU 6 WEID. *	MORS.A MOLLA ZDU 6 WEID. *	ZDU 6 WEID. SPRING CLAMP *	BORN.A MUELLE ZDU 6 WEID. *	
+Q0-X1	1	31020016	BORN.DE TIERRA ZPE 6 WEID. *	MORS.DI TERRA ZPE 6 WEID. *	ZPE 6 WEID. EARTHED TERMINAL BLOCK *	BORN.DE TIERRA ZPE 6 WEID. *	
+Q0-X1	1	31020046	PLACAS TERM. ZAP/TW5 WEID.*	PIASTRE TERM. ZAP/TW5 WEID.*	ZAP/TW5 WEID. FOUNDATION PLATES	PLACAS TERM. ZAP/TW5 WEID.*	
+Q0-X2	1	31020090	BORNES ZTR 2,5 WEID *	MORS.SEZION. ZTR 2,5 WEID. *	BOX ZTR 2,5 WEID *	BORNES ZTR 2,5 WEID *	
+Q0-X2	16	31020000	ALIMENTACION MUELLE ZDU 2,5 WEIDMULLER *	*MORS.A MOLLA ZDU 2,5 WEID. *	BOX ZDU 2,5 WEID. SPRING CLAMP *	ALIMENTACION MUELLE ZDU 2,5 WEIDMULLER *	
+Q0-X2	1	31020035	PLACAS TERM. ZAP/TW1 WEID.*	PIASTRE TERM. ZAP/TW1 WEID.*	ZAP/TW1 WEID. FOUNDATION PLATES	PLACAS TERM. ZAP/TW1 WEID.*	
+Q0-X3	4	31020000	ALIMENTACION MUELLE ZDU 2,5 WEIDMULLER *	*MORS.A MOLLA ZDU 2,5 WEID. *	BOX ZDU 2,5 WEID. SPRING CLAMP *	ALIMENTACION MUELLE ZDU 2,5 WEIDMULLER *	
+Q0-X3	1	31020035	PLACAS TERM. ZAP/TW1 WEID.*	PIASTRE TERM. ZAP/TW1 WEID.*	ZAP/TW1 WEID. FOUNDATION PLATES	PLACAS TERM. ZAP/TW1 WEID.*	
+Q0-X4	4	31020000	ALIMENTACION MUELLE ZDU 2,5 WEIDMULLER *	*MORS.A MOLLA ZDU 2,5 WEID. *	BOX ZDU 2,5 WEID. SPRING CLAMP *	ALIMENTACION MUELLE ZDU 2,5 WEIDMULLER *	
+Q0-X4	1	31020035	PLACAS TERM. ZAP/TW1 WEID.*	PIASTRE TERM. ZAP/TW1 WEID.*	ZAP/TW1 WEID. FOUNDATION PLATES	PLACAS TERM. ZAP/TW1 WEID.*	
+Q0-X5	2	31020035	PLACAS TERM. ZAP/TW1 WEID.*	PIASTRE TERM. ZAP/TW1 WEID.*	ZAP/TW1 WEID. FOUNDATION PLATES	PLACAS TERM. ZAP/TW1 WEID.*	
+Q0-X5	3	31020000	ALIMENTACION MUELLE ZDU 2,5 WEIDMULLER *	*MORS.A MOLLA ZDU 2,5 WEID. *	BOX ZDU 2,5 WEID. SPRING CLAMP *	ALIMENTACION MUELLE ZDU 2,5 WEIDMULLER *	
+Q0-X6	4	31020000	ALIMENTACION MUELLE ZDU 2,5 WEIDMULLER *	*MORS.A MOLLA ZDU 2,5 WEID. *	BOX ZDU 2,5 WEID. SPRING CLAMP *	ALIMENTACION MUELLE ZDU 2,5 WEIDMULLER *	
+Q0-X6	1	31020035	PLACAS TERM. ZAP/TW1 WEID.*	PIASTRE TERM. ZAP/TW1 WEID.*	ZAP/TW1 WEID. FOUNDATION PLATES	PLACAS TERM. ZAP/TW1 WEID.*	
+Q0-X7	3	31020000	ALIMENTACION MUELLE ZDU 2,5 WEIDMULLER *	*MORS.A MOLLA ZDU 2,5 WEID. *	BOX ZDU 2,5 WEID. SPRING CLAMP *	ALIMENTACION MUELLE ZDU 2,5 WEIDMULLER *	
+Q0-X7	1	31020035	PLACAS TERM. ZAP/TW1 WEID.*	PIASTRE TERM. ZAP/TW1 WEID.*	ZAP/TW1 WEID. FOUNDATION PLATES	PLACAS TERM. ZAP/TW1 WEID.*	
+Q0-X8	2	31020000	ALIMENTACION MUELLE ZDU 2,5 WEIDMULLER *	*MORS.A MOLLA ZDU 2,5 WEID. *	BOX ZDU 2,5 WEID. SPRING CLAMP *	ALIMENTACION MUELLE ZDU 2,5 WEIDMULLER *	
+Q0-X8	1	31020035	PLACAS TERM. ZAP/TW1 WEID.*	PIASTRE TERM. ZAP/TW1 WEID.*	ZAP/TW1 WEID. FOUNDATION PLATES	PLACAS TERM. ZAP/TW1 WEID.*	
+Q0-X0.0	4	31020030	BORN.A MUELLE ZDK 2,5/1V WEID*	MORS.A MOLLA ZDK 2,5/1V WEID*	BOX ZDK 2,5/1V WEID*SPRING CLAMP	BORN.A MUELLE ZDK 2,5/1V WEID*	
+Q0-X0.0	1	31020040	LAMINA ZAP/ZDK WEID.*	PIASTRE TERM. ZAP/ZDK WEID.*	FOUNDATION PLATES ZAP/ZDK WEID.*	LAMINA ZAP/ZDK WEID.*	
+Q0-X0.0	2	31014143	BLOQUEOS PARA BORNES EW35 WEIDMULLER	FERMI X MORS. EW35 WEIDM.	BACKSTOP FOR EW35 WEIDM. TERMINAL	BLOQUEOS PARA BORNES EW35 WEIDMULLER	
+Q0-X0.1	4	31020030	BORN.A MUELLE ZDK 2,5/1V WEID*	MORS.A MOLLA ZDK 2,5/1V WEID*	BOX ZDK 2,5/1V WEID*SPRING CLAMP	BORN.A MUELLE ZDK 2,5/1V WEID*	
+Q0-X0.1	1	31020040	LAMINA ZAP/ZDK WEID.*	PIASTRE TERM. ZAP/ZDK WEID.*	FOUNDATION PLATES ZAP/ZDK WEID.*	LAMINA ZAP/ZDK WEID.*	
+Q0-X0.2	1	31020030	BORN.A MUELLE ZDK 2,5/1V WEID*	MORS.A MOLLA ZDK 2,5/1V WEID*	BOX ZDK 2,5/1V WEID*SPRING CLAMP	BORN.A MUELLE ZDK 2,5/1V WEID*	
+Q0-X0.2	1	31020040	LAMINA ZAP/ZDK WEID.*	PIASTRE TERM. ZAP/ZDK WEID.*	FOUNDATION PLATES ZAP/ZDK WEID.*	LAMINA ZAP/ZDK WEID.*	
						</	

Fosber S.p.A. Via Provinciale per Camaiore, 27/28 Monsagrati (Lucca) - Italy T. +39.0583.3891 - F. +39.0583.389205 / 385567 E-mail: info@fosber.it	Comisión	Fecha	01/07/2017	SINGLE PREHEATER B.0 Lista de artículos : 36540000 - 31020040 Distinta articoli : 36540000 - 31020040	Job nr.	= SPH(1)	
	CORRUGADORA GUATEMALA	Autor	Lorenzo Centi		4607	+P0	
		Comprobación			Comisión	Hoja	2
			+Q0-003		COM17310	Hoja	43

Lista de medios de explotación

FOS_F01_011

Ident. medio	Canti	Número	Página / Circu	Designazione	Designación	Fabricante	Número de pe
+Q0	1	36540000	+Q0/3.3	ARMADIETTO AE 1360.500 RITTAL	CUADRO ELECTRICO ELECTRICO AE 1360 RITTAL		
+Q0-A7.1	1	32120771	+Q0/7.3	MOD. XPS-DMB 2 INT. MAGN. *	MODULO SEGURIDAD XPSDMB1132P		
+Q0-F3.1	1	35055929	+Q0/3.4	FUSIBILE 5X20 RAP 4A CE/UL *	FUSE 5X20 4A FAST		
+Q0-F3.1	1	31020092	+Q0/3.4	SPINA PORTAFUSIBILE SIHA WEID*	CLAVIJA PORTAFUSIBLE SIHA WEID*		
+Q0-F4.1	1	35014000	+Q0/4.1	MTERM FAZ-C0,5/1	INTERRUPTOR MAGNETOTERMICO FAZ-C0,5/1		
+Q0-F4.1	1	35014096	+Q0/4.1	CONT. AUX MOELLER Z-NHK	CONT. AUX MOELLER Z-NHK		
+Q0-K7.1	1	32300900	+Q0/7.6	RELÈ A-B 700-HLT2Z24 TBS24 VDC	RELE 700-HLT2Z24 TBS24 VDC		
+Q0-K7.2	1	32300900	+Q0/7.7	RELÈ A-B 700-HLT2Z24 TBS24 VDC	RELE 700-HLT2Z24 TBS24 VDC		
+Q0-K8.1	1	32300905	+Q0/8.0	RELÈ A-B 700-HLT2Z24 TBR24VDC	RELE 700-HLT2Z24 TBR24VDC		
+Q0-K8.2	1	32300900	+Q0/8.1	RELÈ A-B 700-HLT2Z24 TBS24 VDC	RELE 700-HLT2Z24 TBS24 VDC		
+Q0-K8.3	1	32300900	+Q0/8.2	RELÈ A-B 700-HLT2Z24 TBS24 VDC	RELE 700-HLT2Z24 TBS24 VDC		
+Q0-M4.1	1	36541506	+Q0/4.1	PFANNENBERG PF32.000 24 VDC *	PFANNENBERG PF32.000 24 VDC *		
+Q0-M4.1	1	36541507	+Q0/4.1	PFANNENBERG PFA30.000 GRIGLIA*	PFANNENBERG PFA30.000 GRIGLIA*		
+Q0-P4.1	1	36541511	+Q0/4.1	PFANNENBERG FLZ 530 TERM.(NA)*	PFANNENBERG FLZ 530 TERM.(NC)		
+Q0-PE0	1	36080095	+Q0/3.1	BARRA TERRA M5 12X4X990MM *	BARRA TIERRA ART.37389 LEGRAND		
+Q0-Q5.1	1	32368524	+Q0/5.2	MTERM. PKZM0-16 \$	INTERRUPTOR MAGNETOTERMICO PKZM0-16		
+Q0-Q5.1	1	32368550	+Q0/5.2	CONTATTI NHI11-PKZ0	CONTACTO NHI11-PKZM0		
+Q0-Q5.2	1	32368520	+Q0/5.6	MTERM. PKZM0-6,3 \$	INTERRUPTOR MAGNETOTERMICO PKZM0-6,3 \$		
+Q0-Q5.2	1	32368550	+Q0/5.6	CONTATTI NHI11-PKZ0	CONTACTO NHI11-PKZM0		
+Q0-Q5.3	1	32280006	+Q0/5.6	SIEMENS 3RM1302-1AA04 SAFETY *	SIEMENS 3RM1302-1AA04 SAFETY		
+Q0-T5.1	1	51500864	+Q0/5.2	A-B DRI.PF40P 400/480V 4.0KW *	A-B DRI.PF40P 400/480V 4.0KW		
+Q0-X1	3	31020006	+Q0/3.1	MORS.A MOLLA ZDU 6 WEID. *	BORN.A MUELLE ZDU 6 WEID. *		
+Q0-X1	1	31020016	+Q0/3.1	MORS.DI TERRA ZPE 6 WEID. *	BORN.DE TIERRA ZPE 6 WEID. *		
+Q0-X1	1	31020046	+Q0/3.1	PIASTRE TERM. ZAP/TW5 WEID.*	PLACAS TERM. ZAP/TW5 WEID.*		
+Q0-X2	1	31020090	+Q0/3.4	MORS.SEZION. ZTR 2,5 WEID. *	BORNES ZTR 2,5 WEID *		
+Q0-X2	16	31020000	+Q0/3.5;+Q0/8.0...+Q0/8.7	MORS.A MOLLA ZDU 2,5 WEID. *	ALIMENTACION MUELLE ZDU 2,5 WEIDMULLER *		
+Q0-X2	1	31020035	+Q0/8.1	PIASTRE TERM. ZAP/TW1 WEID.*	PLACAS TERM. ZAP/TW1 WEID.*		
+Q0-X3	4	31020000	+Q0/6.4;+Q0/6.5	MORS.A MOLLA ZDU 2,5 WEID. *	ALIMENTACION MUELLE ZDU 2,5 WEIDMULLER *		
+Q0-X3	1	31020035	+Q0/6.5	PIASTRE TERM. ZAP/TW1 WEID.*	PLACAS TERM. ZAP/TW1 WEID.*		
+Q0-X4	4	31020000	+Q0/7.0...+Q0/7.2	MORS.A MOLLA ZDU 2,5 WEID. *	ALIMENTACION MUELLE ZDU 2,5 WEIDMULLER *		
+Q0-X4	1	31020035	+Q0/7.2	PIASTRE TERM. ZAP/TW1 WEID.*	PLACAS TERM. ZAP/TW1 WEID.*		
+Q0-X5	2	31020035	+Q0/8.7;+Q0/9.5	PIASTRE TERM. ZAP/TW1 WEID.*	PLACAS TERM. ZAP/TW1 WEID.*		
+Q0-X5	3	31020000	+Q0/8.7;+Q0/8.8	MORS.A MOLLA ZDU 2,5 WEID. *	ALIMENTACION MUELLE ZDU 2,5 WEIDMULLER *		
+Q0-X6	4	31020000	+Q0/8.8;+Q0/8.9	MORS.A MOLLA ZDU 2,5 WEID. *	ALIMENTACION MUELLE ZDU 2,5 WEIDMULLER *		
+Q0-X6	1	31020035	+Q0/8.9	PIASTRE TERM. ZAP/TW1 WEID.*	PLACAS TERM. ZAP/TW1 WEID.*		
+Q0-X7	3	31020000	+Q0/5.0;+Q0/5.1	MORS.A MOLLA ZDU 2,5 WEID. *	ALIMENTACION MUELLE ZDU 2,5 WEIDMULLER *		
+Q0-X7	1	31020035	+Q0/5.1	PIASTRE TERM. ZAP/TW1 WEID.*	PLACAS TERM. ZAP/TW1 WEID.*		
+Q0-X8	2	31020000	+Q0/4.1;+Q0/4.2	MORS.A MOLLA ZDU 2,5 WEID. *	ALIMENTACION MUELLE ZDU 2,5 WEIDMULLER *		
+Q0-X8	1	31020035	+Q0/4.2	PIASTRE TERM. ZAP/TW1 WEID.*	PLACAS TERM. ZAP/TW1 WEID.*		
+Q0-X0.0	4	31020030	+Q0/3.7;+Q0/3.8	MORS.A MOLLA ZDK 2,5/1V WEID*	BORN.A MUELLE ZDK 2,5/1V WEID*		
+Q0-X0.0	1	31020040	+Q0/3.7	PIASTRE TERM. ZAP/ZDK WEID.*	LAMINA ZAP/ZDK WEID.*		
+Q0-X0.0	2	31014143	+Q0/3.7	FERMI X MORS. EW35 WEIDM.	BLOQUEOS PARA BORNES EW35 WEIDMULLER		
+Q0-X0.1	4	31020030	+Q0/3.8;+Q0/3.9	MORS.A MOLLA ZDK 2,5/1V WEID*	BORN.A MUELLE ZDK 2,5/1V WEID*		
+Q0-X0.1	1	31020040	+Q0/3.8	PIASTRE TERM. ZAP/ZDK WEID.*	LAMINA ZAP/ZDK WEID.*		
+Q0-X0.2	1	31020030	+Q0/3.6	MORS.A MOLLA ZDK 2,5/1V WEID*	BORN.A MUELLE ZDK 2,5/1V WEID*		
+Q0-X0.2	1	31020040	+Q0/3.6	PIASTRE TERM. ZAP/ZDK WEID.*	LAMINA ZAP/ZDK WEID.*		
+Q0BM-M5.1	1	33030075	+Q0/5.2	MOT."LEROY-SOMER" LSMV 112MG *	MOTOR"LEROY-SOMER" LSMV 112MG *		
+Q0BM-M5.2	1	33205452	+Q0/5.6	MOT. MGM BA 71 0.55KW C4 B5 *	MOTOR MGM BA 71 0.55KW C4 B5 *		
+Q0BM-R6.1	1	50010628	+Q0/6.4	POTENZIO.ELTRA EPA103/1PR 10K*	POTENCIOMETRO ELTRA EPA103/1PR 10K*		
+Q0BM-XB1	1	32345071	+Q0/6.4	CONN.DRITTO FEM. M12-4PIN-PG7*	CONECTOR 8A4000-315 D12F*		
+Q0BM-XB2	1	32345070	+Q0/6.4	CONN.DRITTO MAS. M12-4PIN-PG7*	CONECTOR M12-4PIN-PG7		

0	1	2	3	4	5	6	7	8	9
---	---	---	---	---	---	---	---	---	---

Índice de páginas

FOS_F06_010

[illegible]

0	1	2	3	4	5	6	7	8	9
---	---	---	---	---	---	---	---	---	---

Dispositivos y componentes de seguridad - Tiempo de la vida

FOS_F03_011

[illegible]

Índice de páginas

FOS F06 010

[illegible]

Fosber S.p.A.
Via Provinciale per Camaiore, 27/28 Monsagrati (Lucca) - Italy
T. +39.0583.3891 - F. +39.0583.389205 / 385567
E-mail: info@fosber.it

Comisión
CORRUGADORA GUATEMALA

Fecha	01/07/2017	
Autor	Lorenzo Centi	
Comprobación		
		+Q0-003

SINGLE PREHEATER B.0
 Índice de páginas : =SPH(1)+SR/1 - =SPH(1)+SR/2
 Sommario delle pagine : =SPH(1)+SR/1 - =SPH(1)+SR/2

Job nr. 4607	= SPH(1)
	+SR
Comisión COM17310	Hoja 2
	Hoja 43